

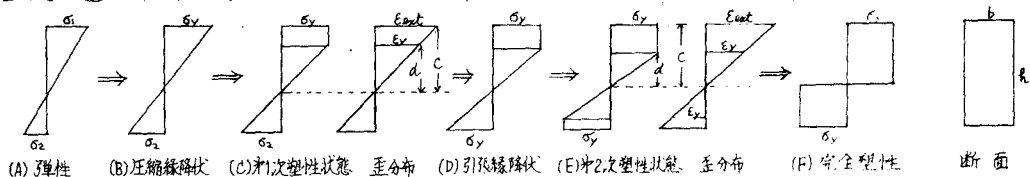
I-18 2ビンチ・アーチの弾塑性たわみ

九州大学 工学部 正員 山崎徳也
九州大学大学院 学生員○石川信隆

序 部材に塑性関節が形成されるとたわみが増大し、構造物によってはある限界を越えて使用に耐え得なくなる場合がある。著者等は先に弾塑性領域における曲げモーメントのみを考慮した円弧アーチのたわみ角式を補足エネルギー法により誘導し、弾性解析と同一手法で弾塑性解析を行なうことを示したが、こゝでは弾塑性領域における軸方向力の影響をシドリに入れて2ビンチ円弧アーチを対象とし、弾性曲線法よりたわみ変形を厳密に考察した。矩形等断面を取扱うが用いる仮定は次の如し。(1)内部せん断力の影響を無視する(2)部材の応力-歪曲線は理想弾塑性とし、復正効果はないものとする。(3)アーチの座屈による影響は考慮しない。(4)微小曲率変化を取扱う。

[I] 基本式の誘導

(A) 部材断面におけるモーメントと曲率変化との関係 断面が軸方向力(正縮)に曲げモーメントを受けて弾性から完全塑性まで逐次降伏して行く過程を次の如き応力分布および歪分布で仮定する。(オ1図)



(A) 弾性 (B) 圧縮繊維状 (C) (D) 次塑性状態 歪分布 (E) (F) 完全塑性 断面

$$\text{弹性範囲} \text{ では、円弧アーチ断面における曲率変化を } \Delta\phi \text{ 中、曲げモーメントを } M \text{ 、曲げ剛性を } EI \text{ とすれば } \Delta\phi = \frac{M}{EI} \quad (1)$$

塑性範囲では、オ1図(C)および(E)の歪分布より $\Delta\phi = \frac{\epsilon_{ext}}{c} = \frac{\epsilon_y}{d} = \frac{\sigma_y}{EI}$ で与えられる。

オ1図(C)および(E)の応力分布を用い、力の釣合より断面力を求めれば次の如くなる。

$$\text{ すなはち } \alpha = \frac{d}{R}, \beta = \frac{c}{R}, M_y = \frac{bR^2}{6}\sigma_y, N_y = bR\sigma_y \text{ とすれば}.$$

$$\text{ オ1次塑性状態} \text{ では } N = \frac{M}{2d} [2d\beta - d^2 - (1-\beta)^2] \quad (3)$$

$$M = M_y [3\beta - 3\beta^2 + (3\beta - \frac{3}{2})\alpha - d^2 + \frac{1}{2}(\frac{1}{2} - \frac{3}{2}\beta^2 + \beta^3)] \quad (4)$$

$$\text{ オ2次塑性状態} \text{ では } N = N_y(2\beta - 1), M = M_y(6\beta - 6\beta^2 - 2d^2) \quad (4)$$

$$\text{ また(2)式は } \Delta\phi = \frac{M_y}{EI} \frac{1}{2d} \dots (5) \text{ となる。ここで } m = \frac{M}{M_y}, n = \frac{N}{N_y} \text{ とおけば}.$$

$$(3) \text{ 式より } 2d = \frac{[3(1-n)-m]^2}{4(1-n)^3} \dots (6a) \quad (4) \text{ 式より } 2d = \sqrt{3 - 3n^2 - 2m} \dots (6b)$$

これらを(5)式へ代入すれば各塑性域における曲率変化が定まる。

こゝで弾性域とオ1次塑性域との境界条件(オ1図B)は $d = \beta$ で(3),(6a)式より $m = 1 - n \dots (7a)$

またオ1次塑性域とオ2次塑性域との境界条件(オ1図D)は $d = 1 - \beta$ で(4),(6b)式より $m = 1 + n - 2n^2 \dots (7b)$

さらにオ2次塑性状態の極限としての完全塑性の場合(オ1図F)は $d = 0$ で(6b)式より $m = \frac{3}{2}(1 - n^2) \dots (7c)$

となりこれらの関係をオ2図に示す。

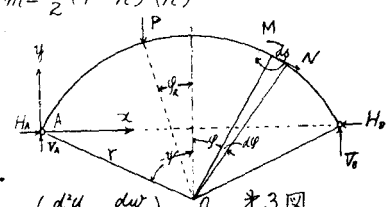
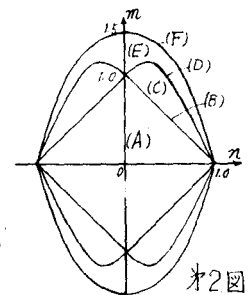
(b) 变形の微分方程式 2ビンチ・アーチの任意点のモーメントおよび軸力は

$$M = M' - Hy, \quad N = N' + H \cos \varphi \quad \dots (8)$$

こゝに M' および N' は単純アーチ梁の荷重による曲げモーメントおよび軸力である。

さて、半径方向および接線方向変位を u, w とすれば、円弧アーチの曲率変化は $\Delta\phi = -(\frac{du}{ds} + \frac{dw}{rds})$

で内力と外力の釣合より(1),(5)(6)式と(8)式より弾塑性域にわたる微分方程式が求められる。



$$\text{すなわち 弹性域においては } \frac{d^2U_0}{d\varphi^2} + U_0 = -m_0 + \frac{3n_0}{K}, \quad \frac{dW_0}{d\varphi} = U_0 - \frac{3n_0}{K} \quad \dots (9a)$$

$$\text{第1次塑性域では } \frac{d^2U_1}{d\varphi^2} + U_1 = -\frac{1}{2\alpha} + \frac{3n_1}{K} = -\frac{4(1-n_1)^3}{(3(1-n_1)+m_1)^2} + \frac{3n_1}{K}, \quad \frac{dW_1}{d\varphi} = U_1 - \frac{3n_1}{K} \quad \dots (9b)$$

$$\text{第2次塑性域では } \frac{d^2U_2}{d\varphi^2} + U_2 = -\frac{1}{2\alpha} + \frac{3n_2}{K} = -\frac{1}{\sqrt{3-3n_2^2-2m_2}} + \frac{3n_2}{K}, \quad \frac{dW_2}{d\varphi} = U_2 - \frac{3n_2}{K} \quad \dots (9c)$$

以上の前記した m_i, n_i は次の値に変る。 $m_i = \frac{1}{M_i} (M' - H \gamma)$, $n_i = \frac{1}{N_i} (N' + H \cos \varphi) \quad \dots (10)$

ここで添字記号 i は各応力状態を示す。すなわち 0, 1, 2 はそれぞれ弾性、第1次塑性、第2次塑性のそれを表わし、また

$$U_i = \frac{EI}{M_i r} u_i, \quad W_i = \frac{EI}{M_i r} w_i, \quad K = \frac{E}{R}, \quad \alpha = \frac{\pi}{6} \quad \text{である。}$$

一般方程式の解 弹塑性境界位置を表わす記号を第4図の如く ψ_j ($j=1, 2, 3, \dots$) で示す

$$F_i(\varphi) = \frac{1}{2\alpha} - \frac{3n_i}{K} \quad (i=0 のとき \frac{1}{2\alpha} = m_0) \text{ における (9) 式の解は一般に次の如くなる。}$$

$$U_i = A_{ij} \cos \psi_j + B_{ij} \sin \psi_j - \int_{\psi_j}^{\pi} F_i(\varphi) \sin(\psi_j - \varphi) d\varphi \quad \dots (11)$$

$$W_i = A_{ij} \sin \psi_j + B_{ij}(1 - \cos \psi_j) + C_{ij} - \int_{\psi_j}^{\pi} F_i(\varphi)(1 - \cos(\psi_j - \varphi)) d\varphi + \int_{\psi_j}^{\pi} \frac{3n_i}{K} d\varphi \quad \dots (11)$$

種々常数 A_{ij}, B_{ij}, C_{ij} ($i=0, 1, 2; j=1, 2, 3, \dots$) は塑性域が発生する度にたわみの連続条件および材端条件

$$\text{より } \varphi = \psi_j \text{ で } U_0 = U_1, \quad W_0 = W_1, \quad \frac{dU_0}{d\varphi} = \frac{dU_1}{d\varphi} \quad \text{または } U_0 = U_2, \quad W_0 = W_2, \quad \frac{dU_0}{d\varphi} = \frac{dU_2}{d\varphi} \quad \dots (12)$$

$$\varphi = -\psi_j \text{ で } U_0 = 0, \quad W_0 = 0, \quad \varphi = \psi \text{ で } U_0 = 0$$

$$\text{そこで } \varphi = \psi \text{ とすると 水平反力 } H \text{ は } H = \frac{H}{N} = f(P, K, \gamma, A_{ij}, B_{ij}, C_{ij}) \quad \dots (13)$$

ここで γ は弾性の場合すなはち (9a) 式を解いた H と V の比で $\gamma = \tan^{-1}(H/V) \dots (14)$ と表わされ、

$$\text{（軸力をもつ弾性）} \rightarrow \text{（軸力をもつ塑性）} \text{ と一歩して (13) 式の表現に合せて } H = \frac{\int_{\psi}^{\pi} M' ds - 3(\frac{K}{R})^2 N' \cos \varphi ds}{\int_{\psi}^{\pi} \gamma^2 ds + 3(\frac{K}{R})^2 \cos^2 \varphi ds} \quad \dots (15) \text{ となる。}$$

二種法

（手荷重による弾性アーチを解き H, V を求め これを $\gamma = \tan^{-1}(H/V)$ とおけば $\gamma = f(\psi)$ となる。

（初期降伏荷重 P_0 ）を考慮 (7a) 式で初期降伏荷重 P_0 やび初期降伏の起る位置 θ_0 を弾性的に仮定する。すなわち $P_0 = f(\gamma, K)$
（集つて荷重の場合は一般に荷重変であるが、分布荷重では $\frac{d\sigma}{d\varphi} = 0$ より算出する。

（荷重位置を右に上げた状態にうつり 弹塑性境界を示す ψ_j を (7a), (7b) 式より弾性計算より仮定する。すなわち

$$\psi_j = f(m_0, n_0) = f(\gamma, P, K) \quad \text{である。}$$

（この ψ_j を (11), (12) 式へ代入して各積分常数 A_{ij}, B_{ij}, C_{ij} を算出し (13) 式へ代入して 弹塑性域を考慮した水平反力 H をうる。

（ H を新たに $\gamma = \tan^{-1}(H/V)$ と置き換え (7a), (7b) へ再び代入して $\psi_j = f(m_i, n_i) = f(\gamma, P, K)$ を算定し、
（もともと、④の操作を繰返して ψ_j を収敛させる。

（して得た ψ_j と (11) 式へ代入すれば 荷重 P_0 における弾塑性たわみが得られる。
（この荷重を逐次漸増 (P_0, P_1, \dots) させ、③～⑥の操作を繰返して（必要に応じて②とも用いて）ある断面が完全塑性
に達した時の荷重 P_0 をもって終り。また任意の荷重 P_n に対しては①～⑥を行ったわみを算出する。

〔例題〕 (a) 中央集中荷重の場合 (すなはち $\theta_0=0$) 弹塑性範囲における水平反力は (13) 式より $\varphi = \psi$ で $W_0 = 0$ から

$$H = \frac{P}{2} \tan \gamma + \frac{B_{0j}(1 - \cos \psi) - C_{0j} \cos \psi}{K V_1} \quad \text{であり、} \quad B_{0j} \text{ やび } C_{0j} \text{ は (12) 式で}\quad \dots$$

決定する。又 ψ は (14) 式の分母を示す。一般に中央荷重時に第1次塑性域次いで、

それ次塑性域が発生し、更に $\theta_0 = \frac{\pi}{2} - \psi$ の両側にそれぞれ第1次、第2次塑性域が

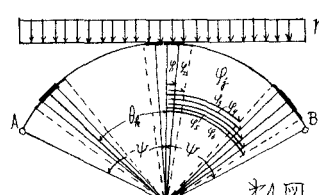
発生し最後に中央が完全塑性となる。 θ_0 は $\frac{d\sigma}{d\varphi} = 0$ より定められる。

$$(b) 鋼直等分布荷重 (4 図) 降伏応力位置 θ_k は $\frac{d\sigma}{d\varphi} = 0$ より $\theta_k = \cos^{-1}(\tan \psi \sin \theta_0 \frac{K-1}{K-2})$$$

が算定され、塑性域は θ_0 の両側に生じ次いで中央に発生する。計算例は講演時に呈示する。

〔文献〕 (1) 山崎・石川 “連続アーチの弾塑性解析” 第19回年次学術講演会講演概要 昭和39年5月

(2) 牧野 稔 “弾塑性域における軸方向力をうける矩形断面鋼材の研究” 建築学会論文報告集 昭和38年12月



第4図